

## بررسی تأثیر الیاف تقویتی پلیمری کربنی CFRP در میزان باربری دال‌های بتن مسلح دوطرفه مربعی‌شکل دارای بازشو در لبه کناری و گوشه دال\*

(یادداشت پژوهشی)

مجتبی لبیب‌زاده<sup>(۱)</sup>

**چکیده** در دال‌ها به دلیل وجود داکت‌های تأسیساتی، وجود آسانسور، سیستم‌های گرمایشی و سرمایشی و غیره ایجاد بازشو اجتناب‌ناپذیر است. بازشوهای با ابعاد کوچک معمولاً تأثیر چنان‌اند در عملکرد دال نمی‌گذارند ولی رفتار دال‌های دارای بازشو با ابعاد نسبتاً بزرگ متفاوت است و معمولاً باعث تمرکز تنش در اطراف بازشوها می‌گردد. درنتیجه یک نقطه ضعف در سازه ایجاد می‌گردد و غفلت از این موضوع می‌تواند باعث ایجاد خسارت سازه‌ای در اطراف بازشوها شود. یکی از روش‌های ترمیم و مقاومت‌سازی این‌گونه دال‌ها که بعد از اجرا در آنها بازشو ایجاد می‌شود، استفاده از مصالح کامپوزیت پلیمری (Fiber Reinforced Polymer) یا به اختصار FRP می‌باشد. در این تحقیق، تأثیر بازشوها و همچنین تأثیر نحوه قرارگیری صفحات FRP روی ظرفیت خمشی دال‌ها مورد بررسی قرار گرفته است. در انتهای تحقیق مشخص شد که نتایج این پژوهش می‌تواند برای تقویت دال‌های موجود که در آنها ایجاد بازشو شده است، استفاده شود و ظرفیت بازبری آنها در مقایسه با حالت هموزن (بدون تقویت) می‌تواند افزایش یابد به طوری که براساس نتایج بدست آمده از تحلیل مقاومت نهایی نسبت به نمونه شاهد (دارای بازشو و بدون تقویت) در گروه Se (dal دارای بازشو در لبه کناری دال) از ۱۲ تا ۳۰ درصد و در گروه Sco (dal دارای بازشو در گوشه دال) از ۱ تا ۱۰ درصد بسته به نحوه قرارگیری الیاف تقویتی FRP افزایش داشته است.

**واژه‌های کلیدی** دال بتن مسلح دوطرفه، بازشوی کناری و گوشه، الیاف CFRP، ظرفیت باربری.

## Investigation of the Effects of CFRP on Load Bearing Capacity of Strengthened Two-Way RC Squared Slabs with Side and Corner Openings

M. Labibzadeh

**Abstract** Due to existence of the facility ducts, such as elevators, heating, and cooling systems in buildings, creating of the openings in the reinforced concrete slabs is inevitable. Usually, small openings have negligible effects on the slab performance whereas the large openings can affect significantly on the slab behavior and can cause the stress concentration adjacent to the openings. In some cases, ignoring this issue can cause serious problems in the integrity, stiffness and even stability of structures. One of the rehabilitation and strengthening methods of such slabs is the use of Fiber Reinforce Polymers sheets (FRPs). In this research, the influence of the lateral and corner openings as well as the impact of using a kind of FRPs known as CFRP (Carbon Fiber Reinforce Polymer sheets) for strengthening of two-way slabs were investigated. The obtained results indicate that this method can be successfully employed in remedy operations for mentioned slabs. CFRP sheets can recover the lost flexural rigidity of the slab considerably and even in some cases can improve it in comparison to that of homogeneous slab (slab with no opening). The results also show that by implementing this method the flexural rigidity of the slab can be increased between 12 to 30 percent in the case of slabs with lateral opening and between 1 to 10 percent in the case of slabs with the corner opening relative to the original weakened slab (slab with opening without strengthening).

**Key Words** Two-Way RC Squared Slabs, CFRP, Load Bearing Capacity, Side and Corner Openings.

\* تاریخ دریافت مقاله ۹۲/۲/۲۲ و تاریخ پذیرش آن ۹۴/۴/۳ می‌باشد.

Email: Labibzadeh\_m@scu.ac.ir

(۱) استادیار، گروه عمران، دانشکده مهندسی، دانشگاه شهید چمران اهواز.

خود ۸ نمونه دال را مورد آزمایش قرار دادند. نمونه‌ها دال بتن مسلح مربعی با ابعاد ۱۹۰۰ میلی‌متر و ضخامت ۱۵۰ میلی‌متر بودند که دو نمونه به عنوان شاهد بدون تقویت و شش نمونه دیگر با ورق‌ها و نوارهای CFRP و GFRP تقویت شدند. بار وارد به صورت مت مرکز به وسیله ستونی مربعی به ابعاد ۲۵۰ میلی‌متر در وسط دال اعمال می‌شد. در کنار کار آزمایشگاهی ایشان نمونه‌های یاد شده را در نرم‌افزار ABQUS شبیه‌سازی نمودند و نتایج تحلیل را با داده‌های آزمایشگاهی تطبیق دادند و در نهایت یک سطح شکست برای پیش‌بینی ظرفیت باربری دال‌های دو طرفه با تکیه گاههای ساده در چهار طرف ارائه نمودند. آنها اظهار داشتند که با استفاده از ورق‌های CFRP می‌توان تا ۴۰ درصد و با ورق‌های GFRP تا ۳۱ درصد ظرفیت خمثی دال را افزایش داد. در تحقیقی دیگر در سال ۲۰۰۴ که توسط دو تن از محققان قبلی انجام شد یعنی Marzouk و Ebead [14]؛ رفتار دال‌های دوطرفه تقویت شده با FRP از نقطه نظر شکل پذیری و جذب انرژی برسی شد و عنوان شد که به دلیل طبیعت ترد ورق‌های FRP، دال‌های دوطرفه تقویت شده با آنها نسبت به دال معمولی شکل پذیری کمتر و قدرت جذب انرژی کمتری دارند. هم‌چنین در این پژوهش ذکر شد که عامل اصلی خرابی، پاره شدن چسب اتصال دهنده ورق FRP به سطح دال است. در واقع بیان شد که هیچ‌گاه ورق FRP پاره نمی‌شود. در تحقیقی دیگر در سال ۲۰۰۳ میلادی که توسط دو تن از محققان دانشکده عمران و محیط زیست دانشگاه برکلی کالیفرنیای آمریکا صورت گرفت، ده نمونه با مقیاس اصلی (یک به یک) از دال‌های بتنی مسلح و غیر مسلح ساخته شد و اثر بازسازی و یا تعییر آنها به وسیله ورق‌های CFRP و GFRP مورد بررسی قرار گرفت. در این تحقیق دال‌هایی مربعی به ابعاد ۲/۶۴ متر و به ضخامت ۰/۷۶ متر (۷/۶ سانتی‌متر) تحت اثر فشار یکنواخت که توسط کیسه آب و روی وجه پایین دال اعمال می‌شد مورد آزمایش قرار گرفتند. در واقع وجه فوقانی دال تحت کشش قرار گرفت و در این وجه برای

## مقدمه

سیستم‌های (Fiber Reinforced Polymer) FRP یا در برگردان فارسی الیاف تقویتی پلیمری به صورت پوشش‌های بیرونی و به منظور افزایش مقاومت و بهسازی سازه‌های بتونی موجود از اواسط دهه ۱۹۸۰ تاکنون در سراسر دنیا مورد استفاده قرار می‌گیرند. این ماده می‌تواند برای تقویت تیرها، ستون‌ها و دال‌ها در ساختمان به کار رود. با استفاده از این ماده حتی می‌توان بعد از این که این اعصابی سازه‌ای در اثر بارگذاری چهار آسیب‌های جدی شدند آنها را ترمیم کرد و مورد بهره‌برداری مجدد قرار داد. برای تقویت تیرها دو روش تاکنون توسعه یافته است: اولین روش چسباندن ورق‌های FRP در لایه تحتانی تیرها یعنی در جایی که معمولاً تحت تنشی‌های کششی زیاد قرار دارد می‌باشد. این کار سبب افزایش مقاومت سازه‌ای؛ کاهش تغییر شکل خمثی تیر و FRP افزایش سختی تیر می‌شود. در روش دوم پوشش FRP به صورت U شکل در زیر و پهلوهای تیر چسبانده می‌شود و علاوه بر موارد ذکر شده روش اول مقاومت برشی تیر را نیز افزایش می‌دهد. با چسباندن الیاف FRP دور ستون‌ها می‌توان با افزایش تنش محصوری ظرفیت ستون را افزایش داد. در مورد دال‌ها نیز می‌توان پوشش FRP را زیر سطح دال چسباند. البته باید یادآور شد که میزان موفقیت کاربرد الیاف FRP در تیرها و دالها تا حدود زیادی به نوع ماده چسباننده بستگی دارد [1].

در مورد کاربرد الیاف تقویتی FRP در تقویت تیرهای بتن مسلح تحقیقات فراوانی تاکنون انجام شده است [2-12] اما در مورد دال‌های بتن مسلح به خصوص دال‌های دو طرفه تحقیقات اندکی انجام شده که در ادامه به برخی از آنها که با موضوع این مقاله سنتختی بیشتری دارند اشاره می‌شود. در سال ۲۰۰۲ میلادی WEC Lye و Marzouk؛ Ebead [13] در کنفرانس Marzouk؛ Ebead [13] در کنفرانس WEC پژوهشی ارائه نمودند و در آن به نتایج به دست آمده در تقویت دال دو طرفه بتن مسلح با استفاده از ورق‌ها و نوارهای CFRP (ورق FRP با الیاف کربن) و GFRP (ورق FRP با الیاف شیشه) اشاره داشتند. ایشان در کار

همکارانش [18] تعداد ۱۱ نمونه دال بتنی را مورد آزمایش قرار دادند. این محققان در کار خود روی تأثیر آرایش چسباندن ورق‌های CFRP در اطراف دو نمونه کوچک و بزرگ بازشو در مرکز دال مربعی به ابعاد ۲/۶ متر و به ضخامت ۱۰ سانتی‌متر متتمرکز شدند. ابعاد بازشو در نمونه کوچک  $85 \times 0.85$  متر و در بازشوی بزرگ  $1.2 \times 1.2$  متر بود. سه نمونه آرایش در اطراف بازشو در نظر گرفتند: آرایش ۹۰ درجه؛ آرایش ۴۵ درجه و ترکیب ۹۰ و ۴۵ درجه. درنهایت عنوان نمودند که حالت ترکیب ۴۵ و ۹۰ درجه بیشترین ظرفیت باربری را نشان می‌دهد. هم‌چنین بیان داشتند که وقتی بازشو بزرگ‌تر می‌شود و از CFRP به جای فولادگذاری تقویتی اضافی معمولی در گوشه‌های بازشو استفاده می‌شود رفتار دال ترد و شکننده‌تر می‌شود و عنوان کردند که شاید این مسئله به دلیل آن است که در این وضعیت دال به صورت ۴ عدد تیر متقطع عمل می‌کند.

با توجه به ادبیات موضوع بیان شده؛ مشخص می‌شود که در زمینه تقویت دال‌های دوطرفه همراه با بازشو بالاستفاده از پوشش‌های خارجی FRP تا کنون کار پژوهشی چندانی صورت نگرفته است. در همین راستا در این مطالعه سعی بر آن است تا مدلی ریاضی بر پایه روش اجزای محدود که قادر به شبیه‌سازی رفتار دال‌های بتنی دوطرفه تقویت شده با پوشش FRP باشد تهیه شود و پس از صحبت‌ستجی مدل بالاستفاده از نتایج آزمایشگاهی موجود در مقالات معتبر علمی که در پاراگراف‌های قبل بدان‌ها اشاره شد (dal دارای بازشو در مرکز) از این مدل برای پیش‌بینی رفتار دال‌های دوطرفه دارای بازشو در لبه کناری و یا گوشه استفاده شود؛ کاری که تاکنون انجام نشده است.

### تشریح مدل عددی پیشنهادی

در این مطالعه مبایی صحبت‌ستجی مدل، کار انجام شده توسط ایناکسون و همکاران [18] می‌باشد. بر این اساس، مشخصات دال‌های آزمایشگاهی به شرح ذیل است:

تقویت از ورق‌های CFRP و GFRP استفاده شد. پس از انجام آزمایش مشخص شد که این ورق‌ها قابلیت افزایش ظرفیت باربری دال را تا ۵ برابر برای دال غیرمسلح و تا ۲ برابر برای دال مسلح نسبت به ظرفیت باربری آنها در حالت تقویت‌نشده دارند. هم‌چنین مشخص شد که خرابی دال‌های تقویت‌شده با الیاف پلیمری ناشی از خرد شدن بتن دال در ناحیه فشاری است و ورق‌های FRP دچار گسیختگی نمی‌شوند. هم‌چنین این دو پژوهشگر در کنار کار آزمایشگاهی خود یک مدل ریاضی اجزای محدود برای شبیه‌سازی نتایج آزمایشگاهی و پیش‌بینی رفتار دال در شرایط بارگذاری متفاوت با شرایط آزمایش ارائه دادند [15]. در سال ۲۰۰۹ میلادی؛ آقای ولید السید و همکارانش [16] تحقیقی دیگر برروی استفاده از ورق‌های FRP در دال‌های بتن مسلح دوطرفه انجام دادند. ایشان تعداد ۹ نمونه دال بتن مسلح مریع شکل به ابعاد ۲/۶ متر و به ضخامت ۱۲ سانتی‌متر از بتنی با مقاومت مشخص ۳۵۰ کیلوگرم بر سانتی‌متر مربع ساختند. ۵ نمونه اول بدون بازشو و ۴ نمونه دیگر دارای بازشو در مرکز دال بودند. آنها در تحقیق خود برای اولین بار ورق‌های ترکیبی CFRP و GFRP را بالاستفاده از پیچ به وجه زیرین دال محکم بستند. در کنار این دال‌ها دو عدد دال دیگر را به عنوان شاهد با روش معمول چسباندن ورق به سطح تحتانی دال آماده کردند. ورق‌های FRP استفاده شده ۲ متر طول؛ ۱۰ سانتی‌متر عرض و  $3/2$  میلی‌متر ضخامت داشتند. آنها دریافتند که با روش جدید پیشنهادی خود (با پیچ بستن ورق‌ها به سطح زیرین دال) می‌توانند به ظرفیت باربری و شکل پذیری بیشتری از دال نسبت به روش معمولی چسباندن دست یابند. ایشان اعلام کردند که می‌توان با روش جدید برای دال بدون بازشو به میزان ۳۳٪ و برای دال همراه با بازشو در مرکز به میزان ۶۶٪ افزایش ظرفیت باربری نسبت به حالت معمولی چسباندن ورق‌ها دست یافت. در پژوهشی دیگر در این زمینه در کشور سوئیس در سال ۲۰۰۷ میلادی ایناکسون و

(بدون بازشو) باتوجه به خصوصیات مصالح مطابق آینه نامه بتون سوئد BBK، برای بارگذاری گسترده یکنواخت  $15 \text{ KN/m}^2$  طراحی گردیده است [18]. بازشوی مدل سازی شده به صورت مربع شکل به ابعاد  $85\text{m} \times 85\text{m}$  می باشد که به وسیله ارده متحرک آبی ایجاد شده است. برای جلوگیری از ایجاد ترک در کناره ها در هنگام آزمایش، قبل از ارده کردن یک سوراخ با ابعاد  $(\emptyset 70)$  در هر گوش به منظور دریل کردن ایجاد می شود. دال های با بازشو به وسیله ورق های CFRP با دو نوع مختلف  $200 \text{ g/m}^2$  و  $300 \text{ g/m}^2$  تقویت شده اند. مشخصات اسمی این ورق ها در جدول (۱) خلاصه شده است. طول و پهنای CFRP به کار برده شده در جدول (۲) داده شده است. نحوه کارگذاری ورق های CFRP در ۴ گروه نخست در شکل (۱) نشان داده شده است و مشخصات پرایم و چسب مورد استفاده در جدول (۳) آمده است [18]. نمونه های فوق (۴ گروه نخست) فقط شامل دال هایی هستند که دارای بازشو در وسط دال می باشند. شکل (۲) نمونه آزمایشگاهی دال مورد مطالعه در این تحقیق را نشان می دهد.

#### مشخصات ۴ گروه نخست دال های

##### مدل سازی شده (H,Sc-90,Sc-45,Sc-45,90)

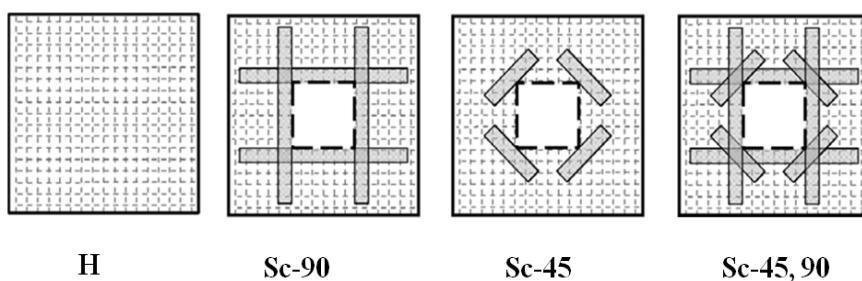
در این بخش مشخصات ۴ گروه نخست دال های مدل سازی شده در این تحقیق بیان شده است. این ۴ گروه از دال ها دارای مشخصاتی هستند که در کار ایناکسون و همکاران [18] ذکر شده است. علاوه بر این ۴ گروه، ۶ گروه دال دیگر که دارای بازشو در لبه کناری دال و گوش دال هستند نیز در این تحقیق مدل سازی شدند که در بخش بعدی شرح می شود. مدل سازی ۴ گروه نخست برای صحبت سنجی دقت مدل توسعه یافته در این مطالعه انجام گرفته است. دال های هر ۶ گروه به صورت مربعی با ضلع  $2/6$  متر و ضخامت  $100$  میلی متر می باشند. مقاومت مشخصه فشاری  $28$  روزه بتن دال براساس کار ایناکسون و همکاران [18] برابر با  $40$  مگاپاسکال در نظر گرفته شد. سطح دال های تقویت شده توسط CFRP قبل از چسباندن ورق ها توسط سند بلاست به وسیله فنشار هوا کاملاً تمیز گردید. تمام دال ها به وسیله فولادهای ساختمانی S150 -  $\Phi 5$  و با پوشش  $20 \text{ mm}$  مسلح گردیدند. دال مرتع همگن

جدول ۱ مشخصات اسمی ورق های CFRP [18]

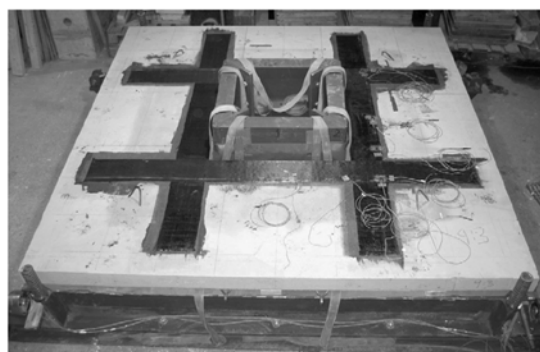
محصول	ضخامت لایه (mm)	مدول یانگ (GPa)	مقاومت کششی (MPa)	کرنش گسترشی (%)
300S	۰/۱۷	۲۲۸	۳۶۰۰	۱/۵
200S	۰/۱۱	۲۲۸	۳۶۰۰	۱/۵

جدول ۲ موقعیت، طول و پهنای ورق های CFRP مورد استفاده [18]

داد	طول بازشو (m)	نوع لایه	محل نصب لایه ها	پهنای لایه (mm)	طول لایه (m)
Sc-45	۰/۸۵	200S	در زاویه ۴۵	۱۹۵	۰/۸۵
Sc-90	۰/۸۵	300S	در زاویه ۹۰	۱۸۵	۲۰۳
Sc-45,90	۰/۸۵	200S	در زاویه ۴۵	۱۹۵	۰/۸۵
		300S	در زاویه ۹۰	۱۸۵	۲۰۳



شکل ۱ انواع تقویت بازشوها در ۴ گروه نخست دالها



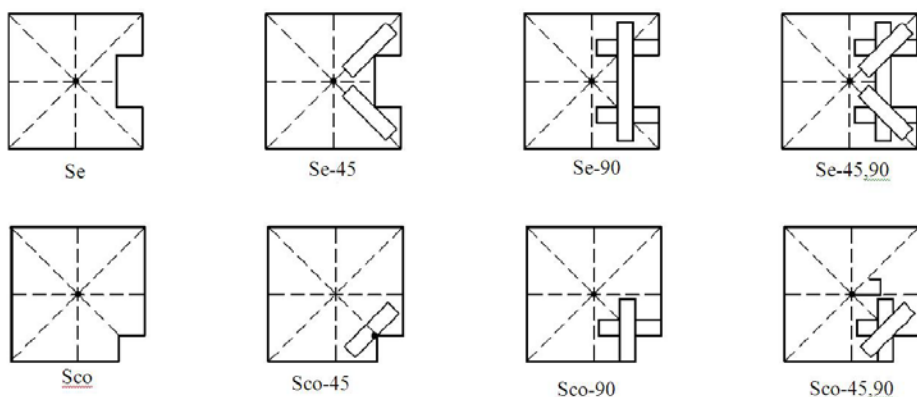
شکل ۲ نمونه آزمایشگاهی

جدول ۳ مشخصات اسمی چسب و پرایمر

محصول	چسبندگی به بتن (MPa)	مدول یانگ (GPa)	مقاومت کششی (MPa)	مقاومت برشی (MPa)
پرایمر	۱۷	-	-	-
چسب	-	۲	۵۰	۱۷/۶

جدول ۴ موقعیت، طول و پهنای ورق‌های CFRP استفاده شده

داد	طول بازشو (m)	نوع لایه	محل نصب لایه‌ها	(mm)	پهنای لایه (mm)	طول لایه (m)
Se-45	۱×۰/۵	300S	در زاویه ۴۵	۳۰۰	۱/۴	
Se-90	۱×۰/۵	300S	در زاویه ۹۰	۳۰۰	۲/۳	
			در زاویه ۹۰	۳۰۰	۱/۶	
Se-45,90	۱×۰/۵	300S	در زاویه ۴۵	۳۰۰	۱/۴	
		300S	در زاویه ۹۰	۳۰۰	۲/۳	
			در زاویه ۹۰	۳۰۰	۱/۶	
Sco-45	۰/۵×۰/۵	300S	در زاویه ۴۵	۳۵۰	۱	
Sco-90	۰/۵×۰/۵	300S	در زاویه ۹۰	۳۰۰	۱/۶	
Sco-45,90	۰/۵×۰/۵	300S	در زاویه ۴۵	۳۵۰	۱	
		300S	در زاویه ۹۰	۳۰۰	۱/۶	



شکل ۳ انواع تقویت دالها

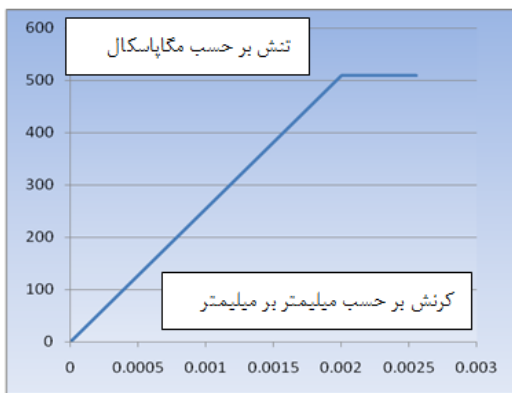
مطالعه حاضر به ترتیب برابر با  $12^\circ$  و  $0/1$  درنظر گرفته شده است. با عنایت به این موضوع که در تحقیق حاضر، بار اعمالی به آهستگی به دال وارد می‌شود و از آنجا که بتن دال در منطقه فشاری تحت اثر تنش‌های دومحوری است و لذا مقاومت فشاری بتن در عمل بالاتر از مقاومت فشاری تکمحوری است و نظر به اثر الایاف تقویتی CFRP که موجب افزایش کرنش‌های بتن در ناحیه فشاری و درنتیجه افزایش شکل‌پذیری بتن در منطقه فشاری می‌شود، لذا بر همین اساس و بر پایه مراجع [19] و [20]، بتن در ناحیه فشاری دال رفتار ترد نشان نمی‌دهد و نیازی به تعریف مدل آسیب فشاری برای بتن و کاهش ماتریس سختی دال براساس مدل آسیب نیست و می‌توان از مدل کلاسیک خمیری دراگر-پراگر برای مدل‌سازی رفتار بتن در فشار و کاهش سختی استفاده نمود. پر واضح است که در هنگام مدل‌سازی بارهای ضربه‌ای وارد به دال و یا بارهای معمولی در دال‌های بتن مسلح تقویت‌نشده با الایاف CFRP، باید اثر رفتار ترد بتن در فشار را درنظر گرفت و در این صورت استفاده از مدل‌های کلاسیک خمیری بتن مانند مدل به کار رفته در تحقیق حاضر نتایج دقیقی ارائه نخواهد داد. اما برای تعریف رفتار بتن در کشش از نظریه آسیب استفاده می‌شود. بر این اساس رفتار بتن در کشش تا هنگام بروز ترک، الاستیک خطی فرض می‌شود و پس از آن رفتار نرم‌شوندگی کرنش در

### مشخصات ۶ گروه ثانوی دال‌های مدل‌سازی شده پیشنهادی براساس محدودیت‌های آین نامه آبا ایران (Se-45, Se-90, Se-45, 90, Sco-45, 90, Sco-45, 90)

همان‌طور که پیشتر اشاره شد در مطالعه حاضر ۶ گروه دیگر از دال‌ها به منظور بررسی محدودیت‌های آین نامه‌ای کشورمان مدل‌سازی شدند. گروه Se که دارای بازشو در لبه دال ( محل تقاطع نوار ستونی و نوار میانی) و گروه Sco که دارای بازشو در گوش دال ( محل تقاطع دو نوار ستونی) می‌باشند. ابعاد این دال‌ها نیز مانند ۴ گروه اول  $2600 \times 2600 \times 100\text{mm}$  می‌باشند. مشخصات و شکل این دال‌ها در جدول (۴) و شکل (۳) دیده می‌شوند.

### مشخصات رفتاری بتن دال

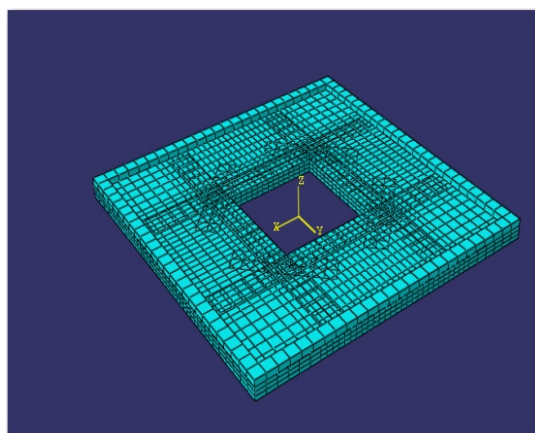
در این مطالعه رفتار بتن براساس کار ایناکسون و همکاران [18] تعریف شده است. بر این مبنای برای بیان رفتار بتن از ترکیب نظریه‌های خمیری، آسیب و مکانیک شکست استفاده شده است. به این ترتیب که رفتار بتن در فشار با فرض این‌که بتن یک ماده چسبنده-اصطکاکی است از روی نظریه کلاسیک خمیری و با استفاده از مدل دراگر-پراگر تعریف می‌شود [17]. زوایه اتساع  $\Psi$  مخروط ناقص دراگر-پراگر و مقدار خروج از محوریت  $e$  در این مدل برای



شکل ۵ رفتار میلگردهای دال

### مشخصات رفتاری میلگردهای دال

در مطالعه حاضر رفتار میلگردهای فولادی دال یک رفتار الاستوپلاستیک ایده‌آل فرض می‌شود (شکل ۶). چسبندگی کامل بین بتن و فولاد فرض می‌شود و اثر سخت‌شوندگی کششی به‌سبب میلگردها در مسئله وارد نمی‌شود. صفحات تکیه‌گاهی فولادی با رفتار الاستیک خطی در نظر گرفته می‌شوند.



شکل ۶ مدل المان‌بندی شده دال

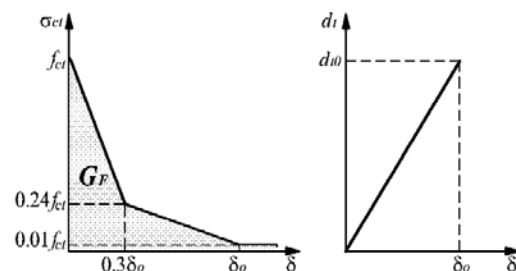
### CFRP مشخصات رفتاری

مشخصات مصالح فیبر کربن که در این مدل‌سازی مورد استفاده قرار گرفت است و به نرم‌افزار معرفی شده است، به صورت زیر در جدول (۵) خلاصه شده است.

منطقه شکست فرض می‌شود. رفتار نرم‌شوندگی کرنش در اینجا به صورت منحنی دوخطی توصیف می‌شود (شکل ۴) که در آن میان تابع آسیب کششی  $d\epsilon$  و بازشدگی ترک  $\delta$  رفتار خطی توصیف می‌شود. ماکریم مقدار تابع آسیب  $d\epsilon_0$  در این مطالعه همانند پژوهش ایناکسون و همکاران [۱۸] برابر  $0/۹$  و ماکریم بازشدن ترک‌ها  $\delta_0$  برابر  $0.115\text{mm}$  منظور شده است (شکل ۵). فاکتور انرژی  $G_F$  برای مود اول شکست طبق نظریه مکانیک شکست بتن برابر مساحت زیر منحنی نرم‌شوندگی و برابر  $100\text{N/mm}^2$  براورد می‌شود. همان‌طور که از شکل (۴) پیداست بعد از پیدایش ترک، مدل عددی براساس اندازه‌گیری بازشدگی دهانه ترک، مقاومت کششی بتن را در راستای عمود بر امتداد ترک کاهش می‌دهد و میزان پارامتر آسیب را از صفر (بدون ترک) تا حداقل مقدار  $0/۹$  (بازشدگی ترک برابر با  $0/115$  میلی‌متر) افزایش می‌دهد. سپس براساس نظریه آسیب کششی، مقدار کاهش تنش و ماتریس رفتاری الاستیک آسیب‌دیده را محاسبه می‌نماید (رابطه ۱):

$$\sigma = (1-d) D_0^{\text{el}} : (\epsilon - \epsilon^{\text{pl}}) = D^{\text{el}} : (\epsilon - \epsilon^{\text{pl}}) \quad (1)$$

در رابطه بالا،  $d$  همان  $d$  یعنی پارامتر آسیب کششی بتن است و  $D_0^{\text{el}}$  و  $D^{\text{el}}$  به ترتیب ماتریس رفتاری الاستیک اولیه و آسیب‌دیده بتن در اثر بروز ترک می‌باشند. با استفاده از تنش و ماتریس رفتاری اصلاح شده بار داخلی و ماتریس سختی محاسبه و اصلاح می‌شوند. همان‌طور که از رابطه (۱) پیداست در این نظریه، آسیب کششی بتن همسان‌گرد در نظر گرفته می‌شود.



شکل ۴ نمودار نرم‌شوندگی کششی

### صحبت‌سنگی مدل عددی توسعه یافته

در اینجا با توجه به محدودیت بحث فقط به ارائه دو نمونه از نتایج صحبت‌سنگی مدل اکتفا می‌کنیم. ابتدا مدلی را در نظر می‌گیریم که دارای بازشو در مرکز دال است و توسط الیاف CFRP به صورت ۹۰ درجه و موازی لبه‌های بازشو تقویت شده است. شکل (۷) دو نمودار را نشان می‌دهد که در آن منحنی توپر نشان‌دهنده منحنی شدت بار- تغییر مکان مدل و منحنی خط‌چین نمایش دهنده نتیجه شدت بار- تغییر مکان آزمایشگاهی می‌باشد. این منحنی‌ها هر دو برای یک نقطه در لبه بازشو که در شکل نشان داده شده است به دست آمده است. حداقل شدت بار قابل تحمل به دست آمده از مدل عددی ۵۱ کیلونیوتون بر مترمربع و جابه‌جایی نظیر این شدت بار برابر با ۳۸ میلی‌متر به دست آمد. این در حالی است که مقادیر نظیر برای نمونه آزمایشگاهی به ترتیب برابر با ۴۸ کیلونیوتون بر مترمربع و ۳۲ میلی‌متر می‌باشد (جدول ۶). با مقایسه آشکار شد که درصد خطای مدل برای محاسبه بار تقریباً ۶ درصد می‌باشد. شکل (۸) نمایش دهنده تغییر شکل مدل عددی در لحظه نهایی مقاومت دال نمایش داده نشان دهد. نمونه دیگر برای صحبت‌سنگی مدل، مدلی می‌باشد. نمونه آزمایشگاهی به ترتیب برابر با ۴۵ درجه است که توسط الیاف CFRP نود درجه و ۴۵ درجه تقویت شده است. شکل (۹) نشان‌دهنده مقایسه نمودار شدت بار- تغییر مکان مدل عددی و نتایج تجربی و شکل (۱۰) نمایش تغییر شکل دال در لحظه گسینختگی است. شکل (۱۱) کرنش ایجاد شده در الیاف CFRP را در لحظه خرابی آنها نشان می‌دهد. حداقل شدت بار قابل تحمل به دست آمده از مدل عددی ۵۵/۴ کیلونیوتون بر مترمربع و جابه‌جایی نظیر این شدت بار برابر با ۴۰ میلی‌متر به دست آمد. این در حالیست که مقادیر نظیر برای نمونه آزمایشگاهی به ترتیب برابر با ۵۱/۵ کیلونیوتون بر مترمربع و ۳۰/۵ میلی‌متر می‌باشد (جدول ۷). با مقایسه آشکار شد که درصد خطای مدل برای محاسبه بار تقریباً ۷ درصد می‌باشد.

جدول ۵ مشخصات الیاف CFRP

E <sub>1</sub> (GPa)	۲۲۸	مقاومت کششی طولی (MPa)	۳۶۰۰
E <sub>2</sub> (GPa)	۱۸.۲	مقاومت فشاری طولی (MPa)	۲۵۰۰
v	۰.۲۸	مقاومت کششی عرضی (MPa)	۱۵۰
G <sub>12</sub> (GPa)	۱۱.۱	مقاومت فشاری عرضی (MPa)	۲۹۰
G <sub>13</sub> (GPa)	۱۱.۱	مقاومت برشی طولی (MPa)	۶۰
G <sub>23</sub> (GPa)	۷.۱	مقاومت برشی عرضی (MPa)	۸۵

### مشخصات اجزای محدود مدل

برای مدل‌سازی بتن دال از المان C3D8R نرم‌افزار آباکوس استفاده شد. این المان سه‌بعدی مکعبی است و ۸ گرهی می‌باشد و در هر گره دارای سه درجه آزادی انتقالی است و از روش انتگرال‌گیری کاوه‌یافته استفاده می‌کند. برای شبیه‌سازی میلگرد‌ها از المان T3D2 استفاده شد که یک نوع المان خرپایی سه‌بعدی دارای دو گره می‌باشد. برای مدل‌سازی الیاف تقویتی CFRP از المان S4R که یک نوع المان غشاوی است استفاده شد. این المان در جهت عمود بر صفحه خود هیچ‌گونه سختی ندارد. در شکل (۶) یک نمونه مدل المان‌بندی‌شده تقویت‌شده با الیاف CFRP و دارای بازشو در مرکز دال برای مثال دیده می‌شود.

### ارائه نتایج و بحث

همان‌طور که پیشتر بحث شد در این مطالعه سعی شد تا با استفاده از نتایج آزمایشگاهی موجود در تحقیق ایناکسون و همکاران [۱۸] یک مدل اجزای محدود کارا و صحبت‌سنگی شده تهیه شود و از آن برای بررسی رفتار دال دو طرفه دارای بازشو در کنار و گوشة دال و تقویت‌شده با الیاف CFRP که تاکنون در مقالات علمی به آن پرداخته نشده است، استفاده شود؛ لذا در ادامه ابتدا نتایج مربوط به صحبت‌سنگی مدل ارائه و پس از آن به مطالعه نتایج مدل عددی توسعه یافته خواهیم پرداخت.

این جا به معنی دال با بازشو در لبه کناری و تقویت شده با الیاف CFRP می‌باشد.

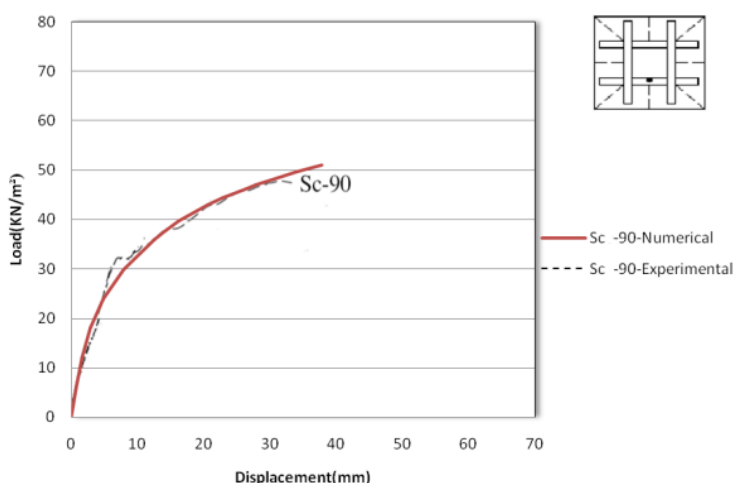
ظرفیت خمی و شکل‌پذیری. همان‌گونه که از شکل (۱۲) مشخص است، به دلیل ایجاد بازشو در دال Se ظرفیت باربری دال نسبت به حالت همگن (دال بدون بازشو H)  $23/8$  درصد کاهش یافته است. این یافته در تضاد با نتایج کار ایناکسون و همکاران [۱۸] می‌باشد.

### ارائه برخی نتایج مدل عددی توسعه یافته

در اینجا به ارائه مختصراً از نتایج به دست آمده از مدل عددی پیشنهادی صحبت‌سنجدیده برای پیش‌بینی رفتار دال‌های دوطرفه دارای بازشو در لبه کناری دال و گوش آن می‌پردازیم.

### دال‌های دارای بازشو در لبه کناری Se

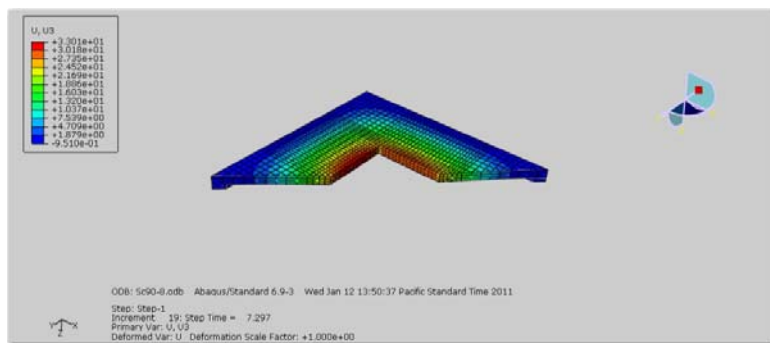
در نمونه‌ای که اینجا ارائه می‌شود ابعاد بازشوی کناری  $1 \times 0.5$  می‌باشد (ابعاد بر حسب متر). علامت Sc در



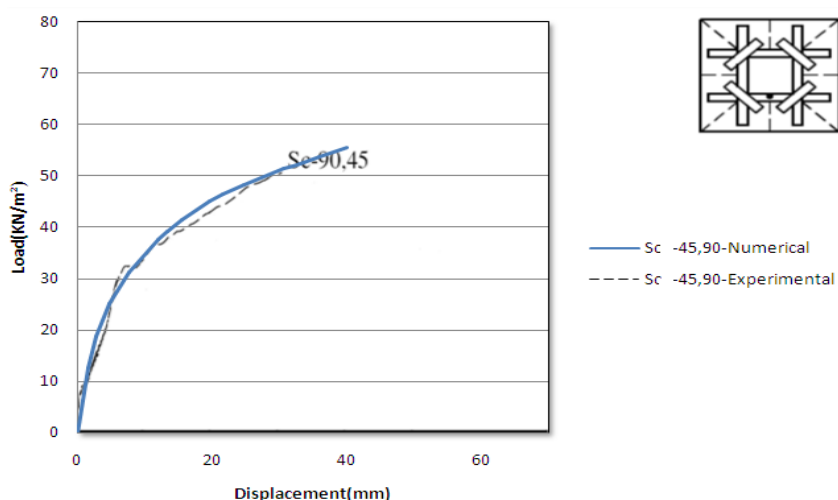
شکل ۷ نمودار شدت بار-تغییر مکان دال تقویت شده با الیاف CFRP نو درجه

جدول ۶ مقایسه نتایج آزمایشگاهی و مدل عددی

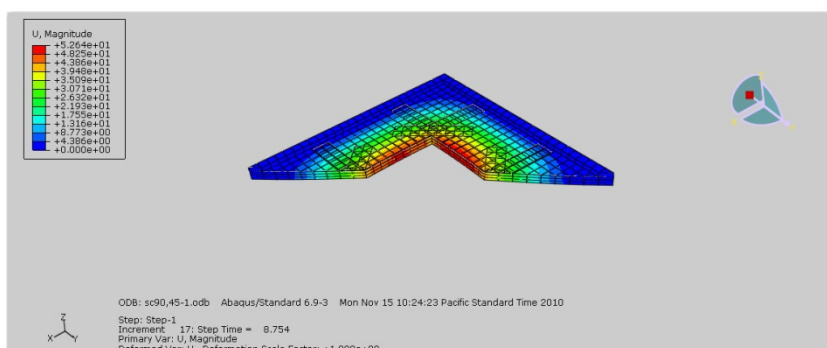
	جایه‌جایی نظیر بار نهایی (میلی‌متر)	بار نهایی (کیلونیوتن)
نمونه آزمایشگاهی [۱۸]	۵۱	۳۸
نمونه عددی	۴۸	۳۲



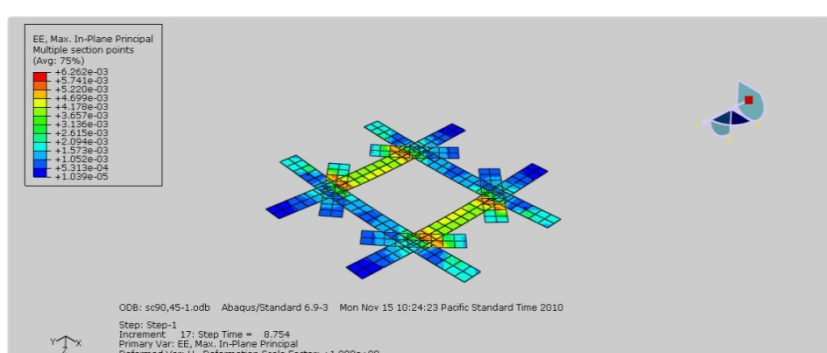
شکل ۸ نمودار تغییرشکل دال تقویت شده با الیاف CFRP نو درجه



شکل ۹ نمودار شدت بار- تغییرمکان دال تقویت شده با الایاف CFRP نod درجه و ۴۵ درجه



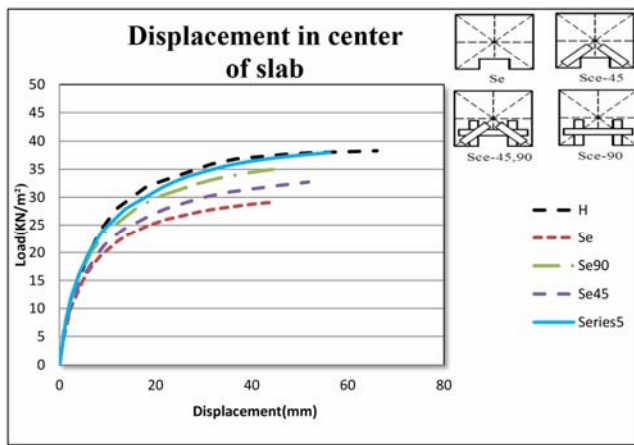
شکل ۱۰ نمودار تغییرشکل دال تقویت شده با الایاف CFRP نod درجه و ۴۵ درجه



شکل ۱۱ کرنش در الایاف CFRP

جدول ۷ مقایسه نتایج آزمایشگاهی و مدل عددی

	بار نهایی (کیلونیوتن)	جا به جایی نظری بار نهایی (میلی متر)
نمونه آزمایشگاهی [18]	۵۵/۴	۴۰
نمونه عددی	۵۱/۵	۳۰/۵



شکل ۱۲ نمودار شدت بار - تغییر مکان برای نقطه ای در مرکز دال

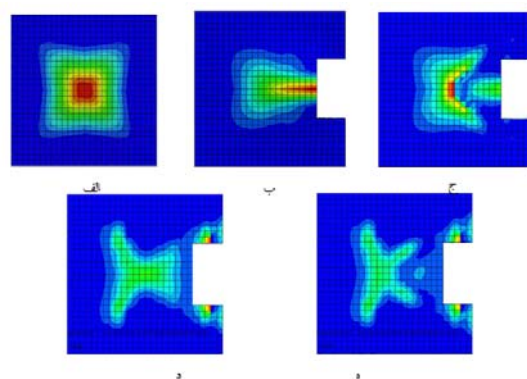
خواهد یافت. این نتیجه نشان‌دهنده ارجحیت استفاده از روش ترکیبی ۴۵ و ۹۰ درجه برای آرایش دادن الیاف CFRP است.

الگوی گسترش ترک. مدل پخش ترک در دال‌های این گروه در شکل (۱۳) نشان داده شده است. در دال Se برخلاف دال‌های S که دارای بازشو در مرکز است ترک‌ها از گوشة بازشو ایجاد نمی‌شوند بلکه از وسط لبه شروع به گسترش به طرف مرکز دال می‌کنند (به تحقیق ایناکسون و همکاران [۱۸] مراجعه شود). با مقایسه حالات مختلف دال تقویت شده (حالات ج، د، ه) و دال تقویت نشده (حالات ب) دیده می‌شود که در تمام حالات ترک‌ها گسترش بیشتری پیدا می‌کنند اما از طول آنها کاسته می‌شود (وسعت نواحی به رنگ زرد و قرمز را مقایسه کنید). همین امر سبب افزایش ظرفیت باربری دال تقویت شده با الیاف CFRP می‌شود. از سوی دیگر با مقایسه حالات مختلف تقویت دال مشخص می‌شود که در حالت ترکیبی ۹۰ و ۴۵ درجه (حالات ه) وسعت پخش ترک‌ها و تمرکز آنها نسبت به دو حالت ۹۰ درجه (حالات د) و ۴۵ درجه (حالات ج) کاهش می‌یابد و لذا ظرفیت باربری و شکل‌پذیری دال افزایش پیدا می‌کند.

در آنجا دال دارای بازشو در مرکز تقریباً ظرفیت خمسی معادل با دال همگن (دال بدون بازشو) دارد. تفسیر این تضاد شاید به دو دلیل باشد: یکی بزرگ‌تر بودن ابعاد بازشو مرکزی در مقایسه با ابعاد بازشوی کناری که سبب کاهش سطح باربری و درنتیجه جبران افت مقاومت خمسی دال ناشی از ایجاد بازشو باشد و دیگری وجود تقارن در حالت بازشوی مرکزی و عدم وجود آن در بازشوی کناری می‌باشد. وجود تقارن به افزایش ظرفیت باربری دال کمک می‌کند. اشکال مختلف تقویت دال با الیاف CFRP افزایش ظرفیت باربری بین  $\frac{1}{3}$  تا  $\frac{2}{3}$  درصد نسبت به حالت Se از خود نشان می‌دهند به طوری که در حالت Sce-45,90 (تقویت دال با الیاف ۴۵ و ۹۰ درجه)، ظرفیت خمسی دال به ظرفیت دال بدون بازشو می‌رسد و از آن فراتر هم می‌رود ( $\frac{2}{3}$  درصد بیشتر از ظرفیت خمسی دال همگن). این نتیجه با یافته‌های ایناکسون و همکاران [۱۸] که در آنها بازشو در مرکز دال می‌باشد هم خوانی دارد. نکته جالب دیگر این که با روش تقویت ۴۵ و ۹۰ درجه با الیاف CFRP هم ظرفیت خمسی دال نسبت به دال اولیه (دارای بازشو) بیشتر می‌شود، هم شکل‌پذیری دال افزایش می‌یابد. در حالی که اگر با روش ۴۵ درجه و ۹۰ درجه تقویت دال انجام شود در حالی که ظرفیت خمسی دال افزایش می‌یابد شکل‌پذیری آن کاهش

ظرفیت باربری در اثر تقویت با الیاف CFRP جزئی می‌باشد که از دلایل آن می‌توان به این مورد اشاره نمود که طول الیاف‌هایی که در این حالت استفاده می‌شوند بسیار کم است و عملاً کارایی چندانی ندارند به‌طوری که حتی با اضافه نمودن چندباره سطح مقطع این الیاف‌ها (افرایش عرض) نتیجه مطلوب‌تری به‌دست نمی‌آید.

**الگوی گسترش ترک.** مدل پخش ترک در دال‌های این گروه در شکل (۱۵) نشان داده شده است. همان‌گونه که دیده می‌شود در این گروه دال‌ها نیز همانند دو گروه قبل (S و Se) در حالت همگن ترک‌ها از وسط شروع می‌شوند و به کناره‌ها گسترش می‌یابند. اما در دال Sco، این ترک‌ها از گوشۀ دال شروع می‌شوند و به سمت مرکز دال گسترش می‌یابند (شکل ۱۵ حالت ب). در حالت Sco-45 دیده می‌شود که این ترک‌ها به‌دلیل وجود الیاف CFRP؛ در گوشۀ دال ظهرور نمی‌یابند بلکه به‌سمت مرکز دال نقل مکان می‌یابند. در دو حالت دیگر نیز ترک‌ها به‌سمت بازشو گسترش می‌یابد ولی بعد از رسیدن به الیاف‌ها به‌سمت لبه‌های خارجی دال گسترش می‌یابند. مشاهده می‌شود که در دو حالت قرارگیری ۹۰ و ترکیبی ۹۰ و ۴۵ درجه نسبت به حالت ۴۵ گسترش ترک‌ها بیشتر و بازشدگی آنها کمتر می‌شوند. همان‌طور که در شکل (۱۵) هم پیداست و تأییدی بر نمودار (۱۴) می‌باشد در حالت بازشوی گوشۀ الگوی ترک‌ها در دو حالت ۹۰ و ترکیب ۹۰ و ۴۵ درجه کاملاً مشابه است و لذا تفاوت معنی‌داری بین کاربرد این دو روش برای افزایش ظرفیت خمی دال وجود ندارد. این مسئله برخلاف نتیجه به‌دست آمده در مورد دال‌های گروه قبل (بازشو در لبه کناری دال) است که در آنجا تفاوت دو روش نامبرده کاملاً مشهود است. در شکل (۱۶) شکل شکست و الگوی گسترش ترک در نمونه‌های آزمایشگاهی برگرفته از کار ایناکسون و همکاران (۲۰۰۷) برای مقایسه با نتایج مدل حاضر ارائه شده‌اند.

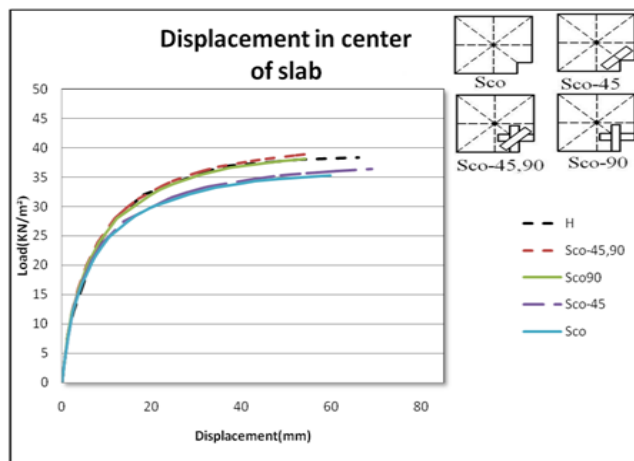


شکل ۱۳ نحوه توزیع ترک‌ها: (الف) دال هموژن، (ب) دال Se-Sce-45,90، (د) دال Sce-90، (e) دال Sco-45,90، (f) دال Sco

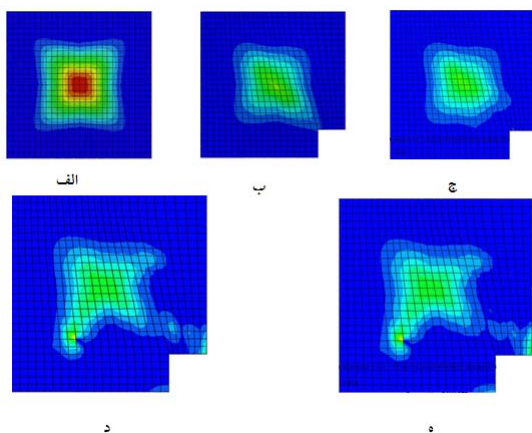
### دال‌های دارای بازشو در گوشۀ دال Sco

این دال‌ها دارای بازشو در گوشۀ می‌باشند. اندازه بازشوی این نمونه‌ها برابر  $0.05 \times 0.05$  (ابعاد به متر) است. این دال‌ها مانند دال‌های گروه Se شامل چهار نمونه می‌باشند که به تشریح و مقایسه آنها باهم و هم‌چنین با دال بدون بازشو خواهیم پرداخت.

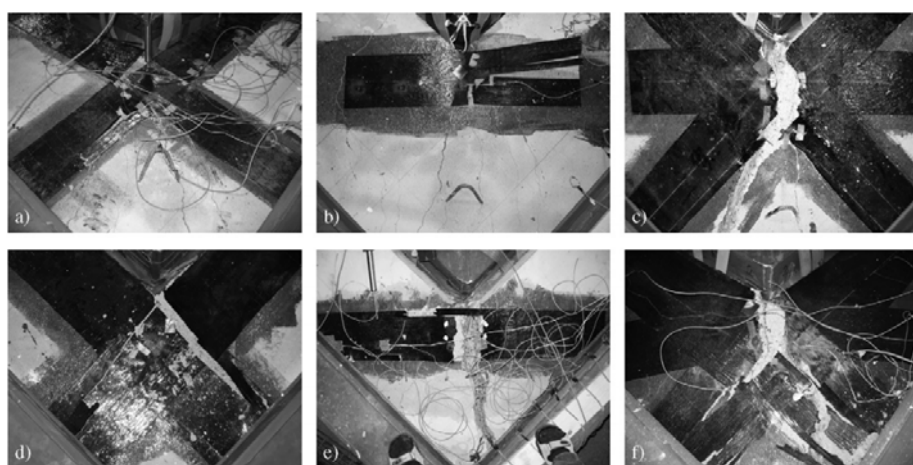
**ظرفیت خمی و شکل‌پذیری.** همان‌گونه که از نمودار (۱۴) مشخص است، به‌دلیل ایجاد بازشو در دال Sco ظرفیت باربری دال نسبت به حالت همگن  $7/5$  درصد کاهش یافته است. این نتیجه نشان می‌دهد در مقایسه با حالت بازشو در لبه کناری و با درنظر گرفتن نسبت مساحت بازشو  $0/5$  متر مربع برای لبه کناری و  $0/25$  متر مربع برای گوشۀ مشخص می‌شود که تأثیر بازشو در لبه کناری در کاهش ظرفیت باربری بیشتر از بازشوی گوشۀ با مساحت بازشوی برابر است. نمونه دال‌های مختلف با استفاده از الیاف CFRP افزایش ظرفیت باربری بین  $1/4$  تا  $10/2$  درصد نسبت به حالت Sco از خود نشان می‌دهند به‌طوری که در حالت Sco-90، ظرفیت خمی دال به ظرفیت دال بدون بازشو می‌رسد و در حالت Sco-45,90 این ظرفیت حدود ۲ درصد بیش از ظرفیت دال دارای بازشو است. البته همان‌طور که مشاهده می‌شود در این دال‌ها در مقایسه با دال‌های گروه قبل (بازشو در لبه کناری) افزایش



شکل ۱۴ نمودار شدت بار-تغییرمکان برای نقطه‌ای در مرکز دال



شکل ۱۵ نحوه توزیع ترک‌ها: (الف) دال همگن، (ب) دال Sco، (ج) دال ۴۵,۹۰، (د) دال Sco-90، (ه) دال Sco-45، (و) دال Sco-45,90



شکل ۱۶ الگوی گسترش ترک‌ها در آزمایشگاه در گوش ۹۰° دال با بازشوی مرکزی در نمونه‌های مختلف تقویت شده با الیاف CFRP (a) دال با بازشوی کوچک در مرکز تقویت شده با الیاف ۴۵ درجه، (b) ترک در گوش‌های بازشوی کوچک در مرکز دال تقویت شده با الیاف ۹۰ درجه، (c) ترک در امتداد اصلاح بازشو، (d) ترک در گوش‌های بازشوی بزرگ در مرکز دال تقویت شده با الیاف ۴۵ درجه، (e) ترک در امتداد اصلاح بازشو، (f) ترک در گوش‌های بازشوی بزرگ در مرکز دال تقویت شده با الیاف ۹۰ درجه

[18]

در گوشه و لبه تا حدود زیادی کمتر می‌گردد. شاید دلیل آن باشد که در هنگامی که بازشو در مرکز دال است عملکرد دوطرفه دال مختل می‌شود و به خصوص هنگامی که ابعاد بازشو بزرگ می‌شود عملکرد دال به صورت عملکرد چهار تیر محیطی در می‌آید. در حالی که زمانی که بازشو در لبه کناری یا گوشه است دال رفتار دوطرفه خود را هم‌چنان حفظ می‌کند.

۴. طریقۀ نصب الیاف‌های CFRP تأثیر به سزایی در افزایش ظرفیت باربری دال‌ها دارد. به طوری که دیده شد نصب الیاف‌های CFRP به صورت موازی با لبه‌های بازشو حالت مناسب‌تری نسبت به حالت نصب آنها به صورت مورب، و نصب الیاف‌ها به صورت ترکیبی (موازی و مورب با لبه بازشو) نتایج مناسب‌تری نسبت به حالت موازی با بازشو دارد. در حالت ترکیبی حتی رفتار دال به جای سخت‌تر شدن نسبت به حالت همگن شکل‌پذیرتر می‌شود (در مورد دال‌های دارای بازشو کناری).

۵. استفاده از الیاف‌های CFRP در دال‌ها باعث تغییر الگوی ترک‌خوردگی در سطح زیرین دال‌ها می‌شود به گونه‌ای که سطح گسترش این ترک‌ها نسبت به حالت بدون بازشو که در لبه‌ها متتمرکز هستند افزایش می‌یابد و به سمت قسمت میانی و تکیه‌گاه‌ها گستردۀ می‌شوند. همچنین با استفاده از این الیاف‌ها اندازه بازشدگی ترک‌ها کوچک‌تر می‌شود.

۶. در هیچ‌کدام از نمونه‌ها، الیاف CFRP به ظرفیت نهایی خود نمی‌رسند که این مطلب به سطح مقطع الیاف مورد استفاده مربوط می‌گردد. میزان کرنش در الیاف‌های CFRP در نمونه‌ها بین ۲۴ تا ۸۰ درصد کرنش گسیختگی می‌باشد.

## جمع‌بندی نتایج

همان‌طور که ملاحظه شد در این مطالعه سعی بر آن بود تا با استفاده از یک مدل اجزای محدود بتوان اثر چسباندن الیاف پلیمری کربنی را در ظرفیت باربری نهایی دال‌های بتون مسلح دارای بازشو در کنار و گوشه‌ها بررسی نمود. در ادامه برخی از نتایج مهم به دست آمده به شکل خلاصه ارائه می‌شود:

۱. نتایج آزمایشگاهی و مدل عددی پیشنهادی به روشنی نشان می‌دهد که نتایج این پژوهش در مورد سیستم مقاوم سازی می‌تواند برای دال‌های موجود که در آن ایجاد بازشو شده است، استفاده شود و ظرفیت باربری آنها در مقایسه با حالت همگن می‌تواند افزایش یابد به طوری که براساس نتایج به دست آمده از روش اجزای محدود مقاومت نهایی نسبت به نمونه شاهد (دارای بازشو و بدون تقویت) در گروه (Dال با بازشو در مرکز دال) از ۷۱ تا ۴۱ درصد، در گروه Se (Dال با بازشو در لبه کناری) از ۱۲ تا ۳۰ درصد و در گروه Sco (Dال با بازشو در گوشۀ دال) از ۱۰ تا ۱۰ درصد افزایش داشته است.

۲. کارایی الیاف CFRP در افزایش ظرفیت باربری دال‌های دوطرفه به این ترتیب است: ۱) Dال با بازشو در مرکز، ۲) Dال با بازشو در لبه کناری و ۳) Dال با بازشو در گوشۀ. یعنی بیشترین تأثیر در مورد بازشوندی وسط دال و کمترین تأثیر در مورد بازشوندی گوشۀ دال به دست می‌آید.

۳. دال‌های تقویت‌شده با CFRP رفتار سخت‌تری در مقایسه با دال‌های مرتع به خصوص بعد از نقطه‌ای که گسیختگی اتفاق می‌افتد، نشان می‌دهند. این رفتار در دال‌های دارای بازشو در وسط به‌وضوح دیده می‌شود اما در دال‌های دارای بازشو

## مراجع

1. Erhard, G. "Designing with Plastics", Hanser Gardner Publication, Inc., (2006).
2. Arduini, M., D'Amrisi, A., and Tommaso, A. D. "Shear failure of concrete beams reinforced with

- FRP plates", In proceedings, infrastructures: A new materials and methods of repair, *proceedings of the third materials engineering conference*, San Diago, CA, USA, pp. 123-130, (1991).
3. GangaRao, H. V. S. and Vijay, P. V. "Bending behavior of concrete beams wrapped with carbon fabric", *Journal of structural engineering*, Vol. 124(1), pp. 3-10, (1998).
  4. Triantafillou, T. C. "Shear strengthening of reinforced concrete beams using epoxy-bonded FRP composites", *ACI Structural Journal*, Vol. 95(2), pp.107-115, (1998).
  5. Nitereka, C. and Neale, K. "Analysis of reinforced concrete beams strengthened in flexure with composite laminates", *Canadian journal for civil engineering*, Vol. 26, pp. 646-654, (1999).
  6. Julio, F. D., and Pizhong, Q. "A computational approach for analysis and optimal design of FRP beams", *Computers and Structures*, Vol. 70(2), pp. 169-183, (1999).
  7. Wu, Y., Zhu, Y., Lai, Y., and Pan, W., "Analysis of shear lags and shear deformation effects in laminated composite box beams under bending loads", *Composite Structures*, Vol. 55(2), pp. 147-156, (2002).
  8. Zheng, Z., and Taheri, F., "Numerical studies on dynamic pulse buckling of FRP composite laminated beams subject to an axial impact", *Composite Structures*, Vol. 56(3), pp. 269-277, (2002).
  9. Håkan, N., and Täljsten, B., "Testing of hybrid FRP composite beams in bending", *Composites Part B: Engineering*, Vol. 35(1), pp. 27-33, (2004).
  10. Wegian, F. M., and Abdalla, H. A. "Shear capacity of concrete beams reinforced with fiber reinforced polymers", *Composite Structures*, Vol. 71(1), pp. 130-138, (2005).
  11. Jae, H. L., Lopez, M., and C., Bakis, Bakis, "Slip effects in reinforced concrete beams with mechanically fastened FRP strip", *Cement and Concrete Composites*, Vol. 31(7), pp. 496-504, (2009).
  12. Naghipour, M., Nematzadeh, M., and Yahyazadeh, Q., "Analytical and experimental study on flexural performance of WPC-FRP beams", *Construction and Building Materials*, Vol. 25(2), pp. 829-837, (2011).
  13. Ebead, U., Marzouk, H. and Lye. M., "Strengthening of two-way slabs using FRP materials: a simplified analysis based on response surface methodology", *2<sup>nd</sup> World Engineering Congress*, Sarawak, Malaysia, 22-25 July, (2002).
  14. Ebead, U., and Marzouk. H., "Tension-stiffening model for FRP-strengthened RC concrete two-way slabs", *Materials and Structures*, Vol. 38, pp. 193-200, (2004).
  15. Mosallam, A. S., and Mosalam, K. M., "Strengthening of two-way concrete slabs with FRP composite laminates", *Construction and building materials*, Vol. 17, pp. 43-54, (2003).
  16. El-sayed, W. E., Ebead, U. A., and Neale, K. W., "Mechanically Fastened FRP-Strengthened Two-Way Concrete Slabs with and without Cutouts", *Journal of Composites for Construction*, ASCE, Vol.

- 13(3), pp. 198-207, (2009).
17. Lubliner, J., Oliver, J., Oller, S. and Onate, E. "A plastic-damage model for concrete", *International Journal of Solids and Structures*, Vol. 25(3), pp. 229–326, (1989).
18. Enochsson, O., Lundqvist, J., Täljsten, B., Rusinowski, P. and Olofsson, T., "CFRP strengthened openings in two-way concrete slabs –An experimental and numerical study", *Construction and Building Materials*, Vol. 21, pp. 810-826, (2007).